

велики, что делают условным их объединение единым термином «частицы Р. п.».

Удержание заряж. частиц в Р. п. осуществляется геомагн. полем. В первом приближении его можно считать дипольным. Траектория заряж. частицы в дипольном поле может рассматриваться как суперпозиция трёх циклич. движений: вращения вокруг силовой

структуре их Р. п. имеются существ. различия. Они обусловлены тем, что спутники Юпитера и Сатурна оказываются в зоне Р. п. Эффект поглощения частиц поверхностью спутника может существенно изменить профиль Р. п. Сильное магн. поле Юпитера значительно ослабляет поток космич. лучей у верх. границы атмосферы. Это делает преенебрежимо малым вклад от распада пейтронов альбедо. В результате энергетич. спектр частиц в Р. п. Юпитера оказывается более «мягким», чем в Р. п. Земли. Большие размеры магнитосферы и мощная энергетика процесса ускорения (до 10^{13} Вт) делают Юпитер самым мощным источником космич. лучей низких энергий (1—10 МэВ).

Р. п. представляет собой серьёзную опасность при длит. полётах в околосземном (околопланетном) пространстве. Из-за сильной электризации может выйти из строя бортовая аппаратура. Живые организмы внутри корабля могут получить лучевое поражение.

Лит.: Тверской Б. А., Динамика радиационных поясов Земли, М., 1968; Williams D. J., Ring current and radiation belts, «Rev. Geophys.», 1987, v. 25, № 3, p. 570.

И. И. Алексеев.

РАДИАЦИОННЫЙ ФОН — совм. воздействие природных и техногенно изменённых радиац. факторов.

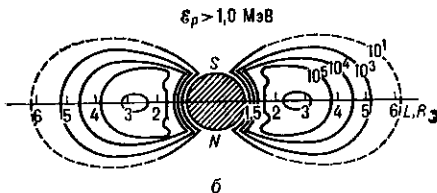
Естественный радиационный фон обусловлен в осн. β - и γ -излучениями природного радионуклида ^{40}K и радионуклидов уранового и ториевого радиоактивных рядов, содержащихся в почве, строит. материалах, в теле человека, а также космич. излучением. По данным, к-рые регулярно представляет в ООН Науч. комитет по действию атомной радиации, годовая эф. эквивалентная доза облучения человека за счёт естеств. Р. ф. составляет в ср. 2,4 мЗв (240 мбэр). На $\frac{2}{3}$ эта доза связана с внутр. воздействием газообразных α -активных продуктов распада радона и торона. При этом вклад продуктов распада радона в дозу почти в 5 раз больше, чем торона. Доза внутр. облучения, обусловленная β - и γ -излучениями ^{40}K , к-рый содержится в мягких тканях человека (преим. в мышцах), сравнима с вкладом α -излучения продуктов распада торона и относительно постоянна. Доза за счёт продуктов распада радона и торона подвержена резким изменениям, т. к. на неё кроме радиоактивности строит. материалов влияет степень обмена воздуха в помещениях.

Внеш. воздействие обусловлено космич. излучением (410 мкЗв) и γ -излучением ^{40}K (150 мкЗв) и радионуклидами ториевого и уранового рядов (160 и 100 мкЗв), содержащихся в почве и строит. материалах. Доза за счёт основных космогенных радионуклидов ^3H , ^7Be , ^{14}C , ^{22}Na , образуемых космич. излучением в верх. слоях атмосферы, мала (15 мкЗв).

Обнаружены области с повышенным Р. ф., в частности высокогорные города Богота, Лхаса, Кито, в к-рых дозы за счёт космич. излучения превышают 1 мЗв, а также песчаные зоны с большой концентрацией минералов, содержащих фосфаты с примесью U и Th, в Индии (шт. Керала) и Бразилии (шт. Эспириту-Санту), участок выхода вод с высокой концентрацией ^{226}Ra в Иране (г. Ромсер) и др. Хотя в нек-рых из этих районов мощность поглощённой дозы в 10^3 раз превышает среднюю по поверхности Земли, обследования населения не выявили сдвигов в структуре заболеваемости и смертности.

Интегральное радиац. воздействие естеств. Р. ф. на население Земли соответствует годовой коллективной эф. эквивалентной дозе, равной 10^7 чел.·Зв (10^9 чел.·бэр).

Техногенный радиационный фон обусловлен гл. обр. добычей и сжиганием каменного угля, нефти, газа, др. горючих ископаемых, использованием фосфатных удобрений, добычей и переработкой неуранных руд, в процессе к-рых происходит перераспределение и концентрирование естеств. радионуклидов. Вклад в техногенный Р. ф. дают также испытания ядерного оружия и ядерная энергетика. При ср. концентрации Ra и Th в дереве 0,2—0,5 Бк/г, в природном гипсе



б

линии магн. поля, осцилляций вдоль силовой линии между точками отражения (расположенными симметрично относительно геомагн. экватора) и азимутального дрейфа вокруг Земли. Для описания пространственного распределения частиц в Р. п. используют координаты L и B . Они имеют смысл геоцентрич. экваториального расстояния до силовой линии, вокруг к-рой частица совершает циклотронное вращение (L), и напряжённости магн. поля (B) в точке отражения, где продольная скорость частицы обращается в ноль, меняя свой знак. При перемещении от периферии в глубь магнитосферы интенсивность потоков частиц возрастает до нек-рого максимума и затем быстро падает. Чем выше энергия частиц, тем ближе к Земле расположена максимум интенсивности. Для интенсивности потока электронов характерно двугорбое распределение по L . Поэтому выделяются внутр. и внеш. Р. п. электронов с зазором на $L = 2-3 R_\oplus$. Иногда употребляют понятия внутр. и внеш. Р. п. протонов. Такое разделение условно, поскольку распределение протонов данной энергии по L имеет один максимум. Теоретически профиль интенсивности потока частиц получают как результат пространственной диффузии частиц, диффузии и переноса частиц в пространстве скоростей. Механизмы, обеспечивающими стохастизацию траекторий частиц, служат рассеяние на волнах и на внес запных скачках магн. и электрич. полей, обусловленных резкими изменениями параметров плазмы солнечного ветра на фронтах межпланетных ударных волн. Конкурирующим механизмом стохастизации может быть т. н. динамич. хаос, связанный с нелинейными резонансами между осцилляциями по разл. степеням свободы. Существует достаточно разработанная теория диффузии частиц в фазовом пространстве. Построены модели взаимодействия частиц с разл. модами колебаний, наблюдаемыми в магнитосфере. Для подобного взаимодействия характерны нелинейные процессы, связанные с раскачкой плазменных неустойчивостей. Как правило, теоретич. модели хорошо описывают усреднённые во времени профили интенсивности частиц. На рис. *a* и *b* изображены изолинии наблюданной интенсивности потоков ($\text{cm}^{-2} \cdot \text{s}^{-1}$) протонов характерных энергий ϵ_p (*S* и *N* — южный и северный магн. полюсы Земли). Нестационарные процессы и детальная пространственная структура потоков частиц описаны лишь фрагментарно. Требуют дальнейших эксперим. исследований и теоретич. анализа сильные вариации потоков частиц в Р. п. во время инжеекций в период магнитосферных суббурь и магн. бурь.

Помимо Земли Р. п. обнаружены у Юпитера, Сатурна и Урана, обладающих сильным магн. полем. Они обнаружены по регистрируемому на Земле декаметровому и километровому радиоизлучению частиц Р. п. Потоки энергичных частиц непосредственно регистрировались при пролётах космич. аппаратов вблизи этих планет. Т. к. магн. поле планет-гигантов больше земного, они имеют более мощные магнитосферы и Р. п. Несмотря на подобие (с учётом соответствующего изменения масштабов) магнитосфер Юпитера, Сатурна и Земли, в